

Монохроматическая электромагнитная волна в металлическом волноводе

Волновод – это канал, имеющий резкие границы, вдоль которого распространяется электромагнитное излучение. Металлический волновод – это металлическая труба, произвольного сечения, пустая внутри или заполненная диэлектриком. На Рис.1 показаны металлические волноводы прямоугольного и круглого сечения.

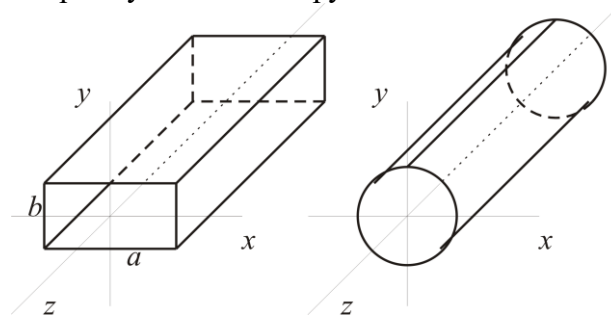


Рис.1

На Рис.1 направляющие волноводов параллельны оси z . У волновода прямоугольного сечения показаны размеры поперечного сечения a и b .

Будем рассматривать электромагнитную монохроматическую волну (волноводную моду) бегущую вдоль оси z . В этом случае электрическое и магнитное поле будем искать в следующем виде.

$$\begin{cases} \vec{E}(\vec{r}, t) = \vec{E}(x, y) e^{i(\beta z - \omega t)} \\ \vec{B}(\vec{r}, t) = \vec{B}(x, y) e^{i(\beta z - \omega t)} \end{cases} \quad (1)$$

Здесь β – волновое число волны в волноводе.

Будем считать, что внутри, металлические волноводы пустые. Соответственно уравнения Максвелла для электромагнитного поля в вакууме имеют вид.

$$\begin{cases} \operatorname{div} \vec{E} = \frac{1}{\epsilon_0} \rho \\ \operatorname{rot} \vec{E} = -\frac{\partial \vec{B}}{\partial t} \\ \operatorname{div} \vec{B} = 0 \\ \operatorname{rot} \vec{B} = \mu_0 \vec{j} + \frac{1}{c^2} \frac{\partial \vec{E}}{\partial t} \end{cases} \quad (5)$$

Причем учтем, что волноводная мода распространяется, внутри волновода в пустом пространстве, где отсутствуют электрические заряды и токи. Если металлический волновод сделан из идеального проводника, то заряды и токи сосредоточены только на поверхности стенок волновода. Поэтому в уравнениях Максвелла (5) объемные токи и заряды надо положить равными нулю.

$$\rho = 0, \quad \vec{j} = 0 \quad (6)$$

Подставим в уравнения (5) электромагнитное поле в виде бегущей волны (1). В результате система (5) принимает следующий вид.

$$\left\{ \begin{array}{l} \frac{\partial E_x}{\partial x} + \frac{\partial E_y}{\partial y} + i\beta E_z = 0 \\ \frac{\partial E_z}{\partial y} - i\beta E_y = i\omega B_x \\ i\beta E_x - \frac{\partial E_z}{\partial x} = i\omega B_y \\ \frac{\partial E_y}{\partial x} - \frac{\partial E_x}{\partial y} = i\omega B_z \end{array} \right. , \left\{ \begin{array}{l} \frac{\partial B_x}{\partial x} + \frac{\partial B_y}{\partial y} + i\beta B_z = 0 \\ \frac{\partial B_z}{\partial y} - i\beta B_y = -\frac{i\omega}{c^2} E_x \\ i\beta B_x - \frac{\partial B_z}{\partial x} = -\frac{i\omega}{c^2} E_y \\ \frac{\partial B_y}{\partial x} - \frac{\partial B_x}{\partial y} = -\frac{i\omega}{c^2} E_z \end{array} \right. \quad (7)$$

Поупражняемся в подстановке одних уравнений системы (7) в другие уравнения. Выразим из второго и третьего уравнений первой системы (7), проекции магнитного поля B_x, B_y . Подставим затем их в четвертое уравнение второй системы (7). Далее воспользуемся первым уравнением первой системы (7). В результате получим дифференциальное уравнение для проекции электрического поля E_z .

$$\frac{\partial^2 E_z}{\partial x^2} + \frac{\partial^2 E_z}{\partial y^2} + \left(\frac{\omega^2}{c^2} - \beta^2 \right) E_z = 0 \quad (8)$$

Задача 1. Получить уравнение (8).

Уравнение (8) называется уравнением Гельмгольца. Так что проекция электрического поля E_z удовлетворяет уравнению Гельмгольца. Совершенно аналогично, выражая проекции электрического поля E_x, E_y из второй системы (7), и подставляя их в четвертое уравнение первой системы, получим дифференциальное уравнение для проекции магнитного поля B_z .

$$\frac{\partial^2 B_z}{\partial x^2} + \frac{\partial^2 B_z}{\partial y^2} + \left(\frac{\omega^2}{c^2} - \beta^2 \right) B_z = 0 \quad (9)$$

Задача 2. Получить уравнение (9).

Таким образом, проекция магнитного поля B_z тоже удовлетворяет уравнению Гельмгольца (9).

Далее взяв проекцию магнитного поля B_x из второго уравнения первой системы (7) подставим ее в третье уравнение второй системы (7). Затем, взяв проекцию магнитного поля B_y из третьего уравнения первой системы (7) подставим ее во второе уравнение второй системы (7). В результате получим следующие формулы для нахождения проекций электрического поля E_x, E_y .

$$\left\{ \begin{array}{l} \left(\frac{\omega^2}{c^2} - \beta^2 \right) E_x = i\beta \frac{\partial E_z}{\partial x} + i\omega \frac{\partial B_z}{\partial y}, \\ \left(\frac{\omega^2}{c^2} - \beta^2 \right) E_y = i\beta \frac{\partial E_z}{\partial y} - i\omega \frac{\partial B_z}{\partial x} \end{array} \right. \quad (10)$$

Задача 3. Получить уравнение (10).

Аналогично, взяв проекцию электрического поля E_x из второго уравнения второй системы (7) подставим ее в третье уравнение первой системы (7). Затем, взяв проекцию электрического поля E_y из третьего уравнения второй системы (7) подставим ее во второе уравнение первой системы (7). В результате получим следующие формулы для нахождения проекций магнитного поля B_x, B_y .

$$\begin{cases} \left(\frac{\omega^2}{c^2} - \beta^2 \right) B_x = i\beta \frac{\partial B_z}{\partial x} - \frac{i\omega}{c^2} \frac{\partial E_z}{\partial y}, \\ \left(\frac{\omega^2}{c^2} - \beta^2 \right) B_y = i\beta \frac{\partial B_z}{\partial y} + \frac{i\omega}{c^2} \frac{\partial E_z}{\partial x} \end{cases} \quad (11)$$

Таким образом, задача нахождения электрического и магнитного поля в волноводной моде свелась к следующей математической задаче. Имеется два уравнения Гельмгольца (8) и (9) для проекции электрического поля E_z и проекции магнитного поля B_z . Решив эти уравнения Гельмгольца, найдем проекции E_z , B_z как функции координат x и y .

$$E_z = E_z(x, y), \quad B_z = B_z(x, y) \quad (12)$$

Теперь, зная проекции E_z , B_z , легко находим остальные проекции электрического поля E_x , E_y и магнитного поля B_x , B_y по формулам (10) и (11).

Заметим, что дифференциальные уравнения (8), (9), (10), (11) являются дифференциальными уравнениями в плоскости xy . Поэтому задача решения уравнений Максвелла сводится к 2-х мерной задаче.

Уравнения Гельмгольца (8) и (9) решаются в двумерной области D , которая является поперечным сечением металлического волновода Рис.2.

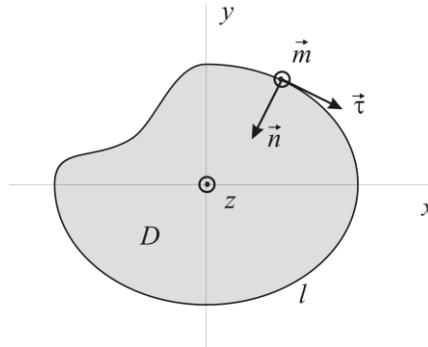


Рис.2

На Рис.2 показан контур l , который охватывает внутреннюю область волновода D . Контур l проходит по металлической поверхности волновода. В некоторой точке контура, на поверхности волновода, показана тройка взаимно перпендикулярных единичных векторов $\vec{\tau}$, \vec{m} , \vec{n} . Вектор \vec{n} является нормалью к поверхности проводника, и направлен из металлической оболочки волновода во внутреннюю область волновода. Векторы $\vec{\tau}$, \vec{m} – это касательные векторы, касающиеся поверхности проводника. Вектор \vec{m} направлен вдоль оси z . На Рис.2 вектор \vec{m} и ось z направлена к наблюдателю, и обозначена кружками с точкой в середине.

Для нахождения определенного решения уравнений Гельмгольца (8), (9) в области D нужно знать граничные условия на контуре l . Граничные условия на контуре определяются граничными условиями для векторов электрического \vec{E} и магнитного \vec{B} поля на поверхности проводника.

Граничные условия на поверхности идеального проводника.

В первом приближении будем считать, что проводник, из которого создан волновод, является идеальным проводником. Под идеальным проводником будем понимать такой проводник, в котором отсутствуют тепловые потери при протекании по нему электрического тока. Это предположение приводит к тому, что электрический ток протекает по поверхности

проводника, электрический заряд находится на поверхности проводника, а электромагнитное поле в проводнике равно нулю.

На Рис. 3 показан небольшой плоский участок поверхности идеального проводника.

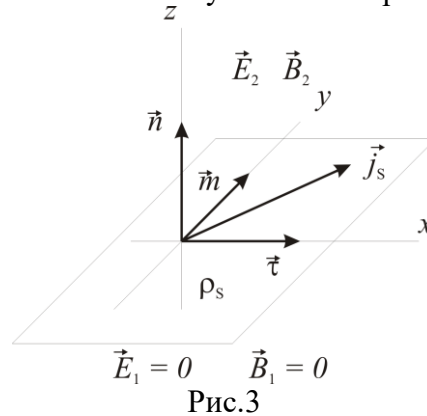


Рис.3

На Рис.3 показана система координат, где небольшой участок поверхности проводника лежит в плоскости xy . Полупространство с положительной координатой $z > 0$ заполнено воздухом, полупространство с отрицательной координатой $z < 0$ заполнено идеальным проводником. Электромагнитное поле внутри идеального проводника равно нулю $\vec{E}_1 = 0$, $\vec{B}_1 = 0$. Электромагнитное поле с наружи проводника отлично от нуля $\vec{E}_2 \neq 0$, $\vec{B}_2 \neq 0$.

На Рис.3 показаны три взаимно перпендикулярных единичных вектора $\vec{\tau}$, \vec{m} , \vec{n} , образующие правую тройку векторов. Вектор \vec{n} является нормалью к поверхности проводника, направленный из проводника во внешнюю область. Векторы $\vec{\tau}$, \vec{m} – это касательные векторы, касающиеся поверхности проводника.

На Рис.3 показан также вектор поверхностной плотности электрического тока \vec{j}_s . Символ ρ_s обозначает поверхностную плотность электрического заряда.

В учебниках по «Электродинамике» доказывается, что граничные условия для электрического и магнитного поля на границе раздела двух сред можно получить из уравнений Максвелла (2), записанных в интегральном виде. Эти граничные условия, на поверхности идеального проводника имеют следующий вид.

$$\begin{cases} E_{2\tau} = 0, & E_{2m} = 0, & E_{2n} = \frac{1}{\epsilon_0} \rho_s \\ B_{2\tau} = \mu_0 j_{sm}, & B_{2m} = -\mu_0 j_{s\tau}, & B_{2n} = 0 \end{cases} \quad (13)$$

В любой точке контура Рис.2 граничные условия (13) принимают вид.

$$\begin{cases} E_\tau = 0, & E_z = 0, & E_n = \frac{1}{\epsilon_0} \rho_s \\ B_\tau = \mu_0 j_{sz}, & B_z = -\mu_0 j_{s\tau}, & B_n = 0 \end{cases} \quad (14)$$

Волноводные моды ТЕ и ТМ поляризации.

Задача нахождения электромагнитного поля волноводной моды сводится к решению уравнений Гельмгольца (8) и (9) для проекций E_z , B_z электрического и магнитного поля, в области D , ограниченной контуром l . Полученные решения E_z , B_z затем подставляются в

формулы (10) и (11) из которых находятся остальные проекции электрического \vec{E} и магнитного поля \vec{B} .

Уравнения Гельмгольца (8) и (9) имеют определенные решения, если на контуре l заданы определенные граничные условия для проекций E_z, B_z . Эти граничные условия должны быть такими, чтобы найденные в результате электрическое и магнитное поле удовлетворяло граничным условиям (14) в каждой точке металлической поверхности волновода, через которую проходит контур l .

Поэтому главной задачей здесь является выбор «правильных» граничных условий на контуре l для проекций E_z, B_z .

Обратим внимание на то, что уравнения Гельмгольца (8) и (9) совершенно не зависимы друг от друга. В одном уравнении неизвестной функцией является проекция электрического поля E_z , а во втором проекция магнитного поля B_z . Поэтому возникает идея рассмотреть два случая, где за основу берется одно из уравнений Гельмгольца.

В первом случае берем за основу уравнение Гельмгольца (8), а проекцию магнитного поля на ось z полагаем равной нулю $B_z = 0$. Такую волноводную волну (моду) называют ТМ – волной.

Во втором случае берем за основу уравнение Гельмгольца (9), а проекцию электрического поля на ось z полагаем равной нулю $E_z = 0$. В этом случае волноводную моду называют ТЕ – волной.

Как показывает анализ дифференциальных уравнений (8), (9), (10), (11) и граничных условий (14), в металлическом волноводе с идеальными проводящими стенками, возможно существование двух независимых ТМ и ТЕ поляризации у волны, бегущей вдоль волновода.

Это означает, что можно возбудить в волноводе одну волну ТМ поляризации, или одну волну ТЕ поляризации. Можно также возбудить две волны с разной поляризацией. Результирующая волна будет суперпозицией этих волн. Однако надо иметь в виду, что постоянные распространения β_{TM}, β_{TE} у волн с разной поляризацией, вообще говоря, разные. Отсюда следует, что скорости волн (4) с разной поляризацией тоже разные. Поэтому здесь нет места обычной интерференции двух волн.

Рассмотрим волноводную моду, у которой проекция магнитного поля на ось z равна нулю, а проекция электрического поля на ось z отлична от нуля.

$$E_z \neq 0, \quad B_z = 0 \quad (15)$$

Волноводную моду с такой поляризацией называют ТМ – волной. То есть, волной с поперечным магнитным полем (transverse magnetic field). Другое название такой моды это Е – волна. То есть волна, у которой продольная составляющая электрического поля отлична от нуля.

В этом случае используем уравнение Гельмгольца (8) с соответствующим граничным условием на контуре l . Запишем это уравнение и граничное условие.

$$\begin{cases} \frac{\partial^2 E_z}{\partial x^2} + \frac{\partial^2 E_z}{\partial y^2} + g^2 E_z = 0, & E_z|_l = 0 \\ g^2 = \frac{\omega^2}{c^2} - \beta^2 \end{cases} \quad (16)$$

Уравнения (10), (11) в этом случае примут вид.

$$\begin{cases} E_x = \frac{i\beta}{g^2} \frac{\partial E_z}{\partial x}, & B_x = -\frac{i\omega}{c^2 g^2} \frac{\partial E_z}{\partial y}, \\ E_y = \frac{i\beta}{g^2} \frac{\partial E_z}{\partial y}, & B_y = \frac{i\omega}{c^2 g^2} \frac{\partial E_z}{\partial x} \end{cases} \quad (17)$$

$$g^2 = \frac{\omega^2}{c^2} - \beta^2$$

Отметим, что из (17) вытекает перпендикулярность векторов электрического \vec{E} и магнитного \vec{B} поля в ТМ волноводной моде. Действительно, скалярное произведение этих векторов равно нулю.

$$\vec{E} \cdot \vec{B} = E_x B_x + E_y B_y + E_z B_z = 0 \quad (18)$$

Задача 4. Получить уравнение (18).

Рассмотрим волноводную моду, у которой проекция электрического поля на ось z равна нулю, а проекция магнитного поля на ось z отлична от нуля.

$$E_z = 0, \quad B_z \neq 0 \quad (19)$$

Волноводную моду с такой поляризацией называют ТЕ – волной. То есть, волной с поперечным электрическим полем (transverse electric field). Другое название такой моды это Н – волна. То есть волна, у которой продольная составляющая магнитного поля отлична от нуля.

В этом случае используем уравнение Гельмгольца (9) с соответствующим граничным условием на контуре l . Запишем это уравнение и граничное условие.

$$\begin{cases} \frac{\partial^2 B_z}{\partial x^2} + \frac{\partial^2 B_z}{\partial y^2} + g^2 B_z = 0, & \left. \frac{\partial B_z}{\partial n} \right|_l = 0 \\ g^2 = \frac{\omega^2}{c^2} - \beta^2 \end{cases} \quad (20)$$

Уравнения (10), (11) в этом случае примут вид.

$$\begin{cases} E_x = \frac{i\omega}{g^2} \frac{\partial B_z}{\partial y}, \\ E_y = -\frac{i\omega}{g^2} \frac{\partial B_z}{\partial x}, \end{cases} \quad \begin{cases} B_x = \frac{i\beta}{g^2} \frac{\partial B_z}{\partial x}, \\ B_y = \frac{i\beta}{g^2} \frac{\partial B_z}{\partial y} \end{cases} \quad (21)$$

$$g^2 = \frac{\omega^2}{c^2} - \beta^2$$

Здесь, так же как и выше, надо отметить, что из формул (21) вытекает перпендикулярность векторов электрического \vec{E} и магнитного \vec{B} поля в ТЕ волноводной моде. Действительно, легко проверить, что скалярное произведение этих векторов равно нулю.

$$\vec{E} \cdot \vec{B} = E_x B_x + E_y B_y + E_z B_z = 0 \quad (22)$$

Металлический волновод прямоугольного сечения, ТМ моды.

Рассмотрим металлический волновод прямоугольного сечения Рис.6. Систему координат выберем, так как показано на Рис.6.

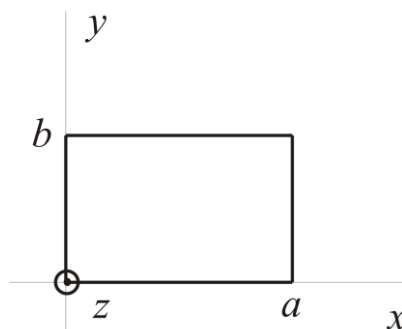


Рис.6

Рассмотрим сначала ТМ волноводные моды. Такую моду также называют Е – волной. Запишем уравнение Гельмгольца из системы уравнений (16) и граничные условия (16) для рассматриваемой конфигурации.

$$\begin{cases} \frac{\partial^2 E_z}{\partial x^2} + \frac{\partial^2 E_z}{\partial y^2} + g^2 E_z = 0, & g^2 = \frac{\omega^2}{c^2} - \beta^2 \\ E_z(0, y) = 0, & E_z(a, y) = 0, & E_z(x, 0) = 0, & E_z(x, b) = 0, \end{cases} \quad (23)$$

Уравнение (23) решается методом разделения переменных, и результат имеет следующий вид.

$$\begin{cases} E_{z, nm}(x, y) = A_1 \sin\left(\frac{\pi n}{a} x\right) \sin\left(\frac{\pi m}{b} y\right), \\ g_{nm}^2 = \left(\frac{\pi n}{a}\right)^2 + \left(\frac{\pi m}{b}\right)^2, & n, m = 1, 2, \dots \end{cases} \quad (24)$$

Из уравнений (23) и (24) находим дисперсионное соотношение для моды E_{nm} .

$$\begin{aligned} \beta &= \beta_{nm}(\omega) \\ \beta_{nm}(\omega) &= \sqrt{\frac{\omega^2}{c^2} - g_{nm}^2} = \sqrt{\frac{\omega^2}{c^2} - \frac{\pi^2 n^2}{a^2} - \frac{\pi^2 m^2}{b^2}}, & n, m = 1, 2, \dots \end{aligned} \quad (25)$$

Волноводная мода ТМ поляризации для прямоугольного волновода обозначается буквой Е с двумя индексами E_{nm} . Из формулы (25) видно, что для заданной частоты ω могут существовать несколько ТМ мод с разными индексами, например E_{11} , E_{12} , E_{22} .

Если рассматривать заданную моду E_{nm} , то постоянная распространения β будет изменяться с изменением частоты ω по закону, определяемой формулой (25). Из формул (25) видно, что при некоторых частотах ω подкоренное выражение становится отрицательным и данная волноводная мода E_{nm} на этой частоте распространяться по волноводу не может. Поэтому для каждой моды E_{nm} существует граничная частота, ниже которой данная мода существовать не может. Такие частоты называют частотой отсечки. Частоты отсечки можно найти, если приравнять подкоренное выражение (25) нулю. В результате получим для частот отсечки следующее выражение.

$$\omega_{nm} = c \sqrt{\frac{\pi^2 n^2}{a^2} + \frac{\pi^2 m^2}{b^2}}, \quad n, m = 1, 2, \dots \quad (26)$$

Перейдем к обычным частотам $f = \omega / 2\pi$ и запишем дисперсионные соотношения (25) в следующем виде.

$$\begin{aligned} \beta &= \frac{2\pi}{c} \sqrt{f^2 - f_{nm}^2} \\ f_{nm} &= \frac{c}{2} \sqrt{\frac{n^2}{a^2} + \frac{m^2}{b^2}}, & n, m = 1, 2, \dots \end{aligned} \quad (27)$$

Используя формулы (27) были построены дисперсионные соотношения Рис.7 для нескольких ТМ мод.

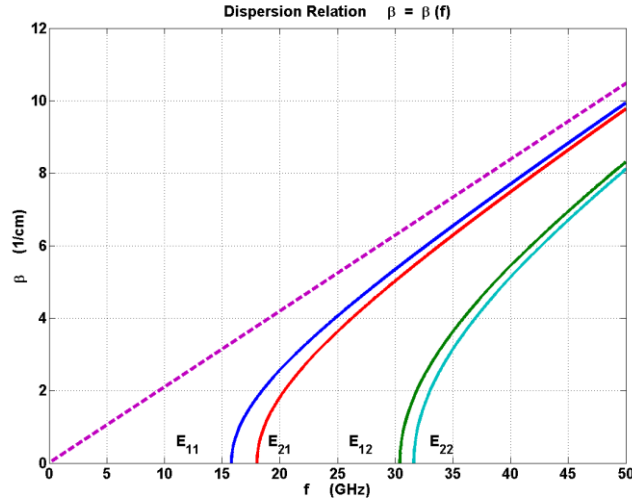


Рис.7

На Рис.7 показаны дисперсионные кривые для следующих ТМ мод - E_{11} , E_{12} , E_{21} , E_{22} . Выбраны следующие размеры волновода $a = 3$ см, $b = 1$ см.

По формулам (17) и (24) находим остальные проекции электрического и магнитного поля в ТМ волноводной моде.

$$\begin{cases} E_x(x, y) = i \beta_{nm} \frac{\pi n}{a g_{nm}^2} A_1 \cos\left(\frac{\pi n}{a} x\right) \sin\left(\frac{\pi m}{b} y\right), \\ E_y(x, y) = i \beta_{nm} \frac{\pi m}{b g_{nm}^2} A_1 \sin\left(\frac{\pi n}{a} x\right) \cos\left(\frac{\pi m}{b} y\right), \\ E_z(x, y) = A_1 \sin\left(\frac{\pi n}{a} x\right) \sin\left(\frac{\pi m}{b} y\right), \end{cases} \quad (28)$$

$$\begin{cases} B_x(x, y) = -\frac{i \omega}{c^2} \frac{\pi m}{b g_{nm}^2} A_1 \sin\left(\frac{\pi n}{a} x\right) \cos\left(\frac{\pi m}{b} y\right), \\ B_y(x, y) = \frac{i \omega}{c^2} \frac{\pi n}{a g_{nm}^2} A_1 \cos\left(\frac{\pi n}{a} x\right) \sin\left(\frac{\pi m}{b} y\right), \\ B_z(x, y) = 0 \end{cases} \quad (29)$$

Задача 5. Получить уравнение (28), (29).

Сделаем замечание по поводу записи электрического и магнитного поля в виде (1). Здесь представлена комплексная запись электромагнитного поля. Поэтому векторы \vec{E} , \vec{B} в (1) являются комплексными векторами. Если ввести вещественные векторы $\tilde{\vec{E}}$, $\tilde{\vec{B}}$, то их связь с комплексными векторами будет иметь вид.

$$\begin{aligned} \tilde{\vec{E}}(\vec{r}, t) &= \frac{1}{2} (\vec{E}(\vec{r}, t) + \vec{E}^*(\vec{r}, t)), \\ \tilde{\vec{B}}(\vec{r}, t) &= \frac{1}{2} (\vec{B}(\vec{r}, t) + \vec{B}^*(\vec{r}, t)) \end{aligned} \quad (30)$$

Если умножить векторы электрического $\vec{E}(x, y)$ и магнитного $\vec{B}(x, y)$ поля, заданные формулами (28), (29) на волновой множитель $e^{i(\beta z - \omega t)}$, то получится волноводная мода (1) в комплексном виде. Запишем эти поля в действительном виде.

$$\begin{cases} \tilde{E}_x(x, y, z, t) = -\beta_{nm} \frac{\pi n}{ag_{nm}^2} A_1 \cos\left(\frac{\pi n}{a} x\right) \sin\left(\frac{\pi m}{b} y\right) \sin(\beta z - \omega t), \\ \tilde{E}_y(x, y, z, t) = -\beta_{nm} \frac{\pi m}{bg_{nm}^2} A_1 \sin\left(\frac{\pi n}{a} x\right) \cos\left(\frac{\pi m}{b} y\right) \sin(\beta z - \omega t), \\ \tilde{E}_z(x, y, z, t) = A_1 \sin\left(\frac{\pi n}{a} x\right) \sin\left(\frac{\pi m}{b} y\right) \cos(\beta z - \omega t), \end{cases} \quad (31)$$

$$\begin{cases} \tilde{B}_x(x, y, z, t) = \frac{\omega}{c^2} \frac{\pi m}{bg_{nm}^2} A_1 \sin\left(\frac{\pi n}{a} x\right) \cos\left(\frac{\pi m}{b} y\right) \sin(\beta z - \omega t), \\ \tilde{B}_y(x, y, z, t) = -\frac{\omega}{c^2} \frac{\pi n}{ag_{nm}^2} A_1 \cos\left(\frac{\pi n}{a} x\right) \sin\left(\frac{\pi m}{b} y\right) \sin(\beta z - \omega t), \\ \tilde{B}_z(x, y, z, t) = 0 \end{cases} \quad (32)$$

Задача 6. Получить уравнение (31), (32).

Далее у действительных полей значок тильда не будем ставить. Рассмотрим поле в сечении с координатой $z = 0$, в момент времени равный одной восьмой периода $t = T/8$. В этом случае из формул (31), (32) получим следующие поля.

$$\begin{cases} E_x(x, y, 0, T/8) = \beta_{nm} \frac{\pi n}{ag_{nm}^2} A_1 \cos\left(\frac{\pi n}{a} x\right) \sin\left(\frac{\pi m}{b} y\right) \frac{\sqrt{2}}{2}, \\ E_y(x, y, 0, T/8) = \beta_{nm} \frac{\pi m}{bg_{nm}^2} A_1 \sin\left(\frac{\pi n}{a} x\right) \cos\left(\frac{\pi m}{b} y\right) \frac{\sqrt{2}}{2}, \\ E_z(x, y, 0, T/8) = A_1 \sin\left(\frac{\pi n}{a} x\right) \sin\left(\frac{\pi m}{b} y\right) \frac{\sqrt{2}}{2}, \end{cases} \quad (33)$$

$$\begin{cases} B_x(x, y, 0, T/8) = -\frac{\omega}{c^2} \frac{\pi m}{bg_{nm}^2} A_1 \sin\left(\frac{\pi n}{a} x\right) \cos\left(\frac{\pi m}{b} y\right) \frac{\sqrt{2}}{2}, \\ B_y(x, y, 0, T/8) = \frac{\omega}{c^2} \frac{\pi n}{ag_{nm}^2} A_1 \cos\left(\frac{\pi n}{a} x\right) \sin\left(\frac{\pi m}{b} y\right) \frac{\sqrt{2}}{2}, \\ B_z(x, y, 0, T/8) = 0 \end{cases} \quad (34)$$

Задача 7. Найти поверхностные заряды и токи в сечении $z = 0$, в момент времени $t = T/8$.

Поле на нижней границе $0 \leq x \leq a$, $y = 0$ прямоугольного контура Рис.6 имеет следующий вид.

$$\begin{cases} E_x(x,0) = 0, \\ E_y(x,0) = \beta_{nm} \frac{\pi m}{bg_{nm}^2} A_1 \sin\left(\frac{\pi n}{a} x\right) \frac{\sqrt{2}}{2}, \\ E_z(x,0) = 0, \end{cases} \quad (35)$$

$$\begin{cases} B_x(x,0) = -\frac{\omega}{c^2} \frac{\pi m}{bg_{nm}^2} A_1 \sin\left(\frac{\pi n}{a} x\right) \frac{\sqrt{2}}{2}, \\ B_y(x,0) = 0, \\ B_z(x,0) = 0 \end{cases} \quad (36)$$

Граничные условия (14) для контура волновода Рис.2, применим для нижнего участка контура $0 \leq x \leq a, y = 0$.

$$\begin{cases} E_x = -E_\tau = 0, & E_y = E_n = \frac{1}{\varepsilon_0} \rho_s, & E_z = 0, \\ B_x = -B_\tau = -\mu_0 j_{sz}, & B_y = B_n = 0, & B_z = \mu_0 j_{sx} = 0 \end{cases} \quad (37)$$

Таким образом, на нижнем участке контура $0 \leq x \leq a, y = 0$ имеем следующие значения электрического и магнитного поля.

$$\begin{cases} E_n(x) = \beta_{nm} \frac{\pi m}{bg_{nm}^2} A_1 \sin\left(\frac{\pi n}{a} x\right) \frac{\sqrt{2}}{2}, \\ B_\tau(x) = \frac{\omega}{c^2} \frac{\pi m}{bg_{nm}^2} A_1 \sin\left(\frac{\pi n}{a} x\right) \frac{\sqrt{2}}{2} \end{cases} \quad (38)$$

Аналогично, на этом участке имеем следующие значения поверхностной плотности заряда и поверхностной плотности тока.

$$\begin{cases} \rho_s(x) = \varepsilon_0 B_n(x), \\ j_{sz}(x) = \frac{1}{\mu_0} B_\tau(x) \end{cases} \quad (39)$$

Самостоятельно найти поверхностные заряды и токи в других участках контура в сечении $z = 0$, в момент времени $t = T/8$.

Рассмотрим еще граничные условия на правом участке $x = a, 0 \leq y \leq b$ контура волновода Рис.6. Из общих формул (33), (34) находим поля на этом участке.

$$\begin{cases} E_x(a, y) = \beta_{nm} \frac{\pi n}{ag_{nm}^2} A_1 (-1)^n \sin\left(\frac{\pi m}{b} y\right) \frac{\sqrt{2}}{2}, \\ E_y(a, y) = 0, \\ E_z(a, y) = 0, \end{cases} \quad (40)$$

$$\begin{cases} B_x(a, y) = 0, \\ B_y(a, y) = \frac{\omega}{c^2} \frac{\pi n}{ag_{nm}^2} A_1 (-1)^n \sin\left(\frac{\pi m}{b} y\right) \frac{\sqrt{2}}{2}, \\ B_z(a, y) = 0 \end{cases} \quad (41)$$

Граничные условия (14) для контура волновода Рис.2, применим для правого участка контура $x = a, 0 \leq y \leq b$.

$$\begin{cases} E_x = -E_n = -\frac{1}{\varepsilon_0} \rho_s, & E_y = -E_\tau = 0, & E_z = 0, \\ B_x = -B_n = 0, & B_y = -B_\tau = -\mu_0 j_{sz}, & B_z = \mu_0 j_{sy} = 0 \end{cases} \quad (42)$$

Таким образом, на правом участке контура $x = a, 0 \leq y \leq b$ имеем следующие значения электрического и магнитного поля.

$$\begin{cases} E_n(y) = \beta_{nm} \frac{\pi n}{ag_{nm}^2} A_1 (-1)^{n+1} \sin\left(\frac{\pi m}{b} y\right) \frac{\sqrt{2}}{2}, \\ B_\tau(y) = \frac{\omega}{c^2} \frac{\pi n}{ag_{nm}^2} A_1 (-1)^{n+1} \sin\left(\frac{\pi m}{b} y\right) \frac{\sqrt{2}}{2} \end{cases} \quad (43)$$

Аналогично, на этом участке имеем следующие значения поверхностной плотности заряда и поверхностной плотности тока.

$$\begin{cases} \rho_s(y) = \varepsilon_0 E_n(y), \\ j_{sz}(y) = \frac{1}{\mu_0} B_\tau(y) \end{cases} \quad (44)$$

Аналогично другим участкам контура волновода, на верхнем участке контура $0 \leq x \leq a, y = b$ имеем следующие значения электрического и магнитного поля.

$$\begin{cases} E_n(x) = \beta_{nm} \frac{\pi m}{bg_{nm}^2} A_1 \sin\left(\frac{\pi n}{a} x\right) (-1)^{m+1} \frac{\sqrt{2}}{2}, \\ B_\tau(x) = \frac{\omega}{c^2} \frac{\pi m}{bg_{nm}^2} A_1 \sin\left(\frac{\pi n}{a} x\right) (-1)^{m+1} \frac{\sqrt{2}}{2} \end{cases} \quad (45)$$

Аналогично, на этом участке имеем следующие значения поверхностной плотности заряда и поверхностной плотности тока.

$$\begin{cases} \rho_s(x) = \varepsilon_0 E_n(x), \\ j_{sz}(x) = \frac{1}{\mu_0} B_\tau(x) \end{cases} \quad (46)$$

Аналогично на четвертом левом участке контура $x=0, 0 \leq y \leq b$ имеем следующие значения электрического и магнитного поля.

$$\begin{cases} E_n(y) = \beta_{nm} \frac{\pi n}{ag_{nm}^2} A_1 \sin\left(\frac{\pi m}{b} y\right) \frac{\sqrt{2}}{2}, \\ B_\tau(y) = \frac{\omega}{c^2} \frac{\pi n}{ag_{nm}^2} A_1 \sin\left(\frac{\pi m}{b} y\right) \frac{\sqrt{2}}{2} \end{cases} \quad (47)$$

Аналогично, на этом участке имеем следующие значения поверхностной плотности заряда и поверхностной плотности тока.

$$\begin{cases} \rho_s(y) = \varepsilon_0 E_n(y), \\ j_{sz}(y) = \frac{1}{\mu_0} B_\tau(y) \end{cases} \quad (48)$$